

УДК 537.523/.527

ОБ ИНТЕНСИВНОСТЯХ ИОННЫХ
И АТОМНЫХ ЛИНИЙ В ПОЛОМ КАТОДЕ

Ю. М. Каган, Р. И. Лягушенко и С. Н. Хворостовский

На основании ранее полученной функции распределения электронов по энергии рассчитывается число прямых возбуждений ряда атомных и ионных уровней гелия и аргона. Полученные значения сравниваются с интегральными интенсивностями соответствующих линий.

В наших предыдущих работах [1, 2] была рассчитана функция распределения быстрых электронов $F(\varepsilon)$, задающее число электронов в единице объема пространства скоростей и во всем объеме полого катода. На основании этих расчетов можно получить общие закономерности относительно хода абсолютных интенсивностей ионных и атомных линий от тока и давления, излучаемых всем объемом полого катода.

Выражение для числа прямых возбуждений уровня (или линии) с энергией возбуждения ε_k в единицу времени во всем объеме полого катода имеет вид

$$\alpha = \frac{8\pi}{m^2} N \int_{\varepsilon_k}^{\infty} F(\varepsilon) \varepsilon q(\varepsilon) d\varepsilon, \quad (1)$$

где N — концентрация атомов, $q(\varepsilon)$ — сечение возбуждения уровня (или линии).

Учитывая, что существует максимальная энергия электронов ε_0 в полом катоде такая, что $F(\varepsilon)=0$ при $\varepsilon > \varepsilon_0$ и вводя переменную $x=\varepsilon/\varepsilon_1$ и обозначения $x_k=\varepsilon_k/\varepsilon_1$, $x_0=\varepsilon_0/\varepsilon_1$, $x_i=\varepsilon_i/\varepsilon_1$, где ε_1 — первый потенциал возбуждения, ε_i — потенциал ионизации, имеем

$$\alpha = \frac{8\pi}{m^2} N \varepsilon_1^2 \left[\int_{x_k}^{x_0} F(x) x q(x) dx \right]. \quad (2)$$

Введем вместо $F(x)$ функцию

$$\varphi(x) = \frac{8\pi^2 a Z e^4 N (x_0 - 1)}{m^2 I_0 x_0} F(x) \ln x, \quad (3)$$

где a — эмпирическая константа, Z — число валентных электронов атома, I_0 — общее число электронов, поступающее в единицу времени в объем полого катода. Величину I_0 можно определить из уравнения баланса заряженных частиц [2].

$$I_0 = \frac{i}{e} \frac{1}{1 + \frac{\varepsilon_1^2}{a\pi Ze^4} \frac{x_0}{x_0 - 1} \int_{x_i}^{x_0} \varphi(x) x \frac{q_i(x)}{\ln x} dx}, \quad (4)$$

где $q_i(x)$ — сечение ионизации, i — величина разрядного тока. Используя (3) и (4), можно переписать (2) в виде

$$\alpha = \frac{i}{e} \frac{\frac{\varepsilon_1^2 x_0}{a\pi Z e^4 (x_0 - 1)} \int_{x_k}^{x_0} \varphi(x) x \frac{q(x)}{\ln x} dx}{1 + \frac{\varepsilon_1^2 x_0}{a\pi Z e^4 (x_0 - 1)} \int_{x_i}^{x_0} \varphi(x) x \frac{q_i(x)}{\ln x} dx}. \quad (5)$$

Используя классическую модель [3] с уточнением по Дравину [4], получаем

$$q_i(x) = \frac{a Z \pi e^4}{\varepsilon_1^2} \frac{1}{x^2} \left(\frac{x}{x_i} - 1 \right) \ln x. \quad (6)$$

Для сечения возбужденных ионных линий и линий одиночников принимаем приближенную аппроксимацию вида

$$q(x) = A \frac{x + \beta}{x^2} \ln x. \quad (7)$$

Тогда

$$\alpha = \frac{i}{e} \frac{\frac{A \varepsilon_1^2}{a \pi Z e^4} \frac{x_0}{x_0 - 1} \int_{x_k}^{x_0} \varphi(x) \left[1 + \frac{\beta}{x} \right] dx}{1 + \frac{x_0}{x_0 - 1} \int_{x_i}^{x_0} \varphi(x) \left[\frac{1}{x_i} - \frac{1}{x} \right] dx}. \quad (8)$$

В формуле (8) можно вставить в интегралы точные значения $\varphi(x)$, полученные в работе [2].

Для выяснения зависимости α от x_0 можно использовать и приближенное выражение для $\varphi(x)$ в виде [2]

$$\varphi(x) = a \frac{x_0 - 1}{x_0}. \quad (9)$$

Тогда

$$\alpha = \frac{i}{e} \frac{A \varepsilon_1^2}{a \pi Z e^4} \frac{\frac{x_0 - x_k + \beta \ln \frac{x_0}{x_k}}{a + \frac{x_0 - x_i}{x_i} - \ln \frac{x_0}{x_i}}}{1 + \frac{x_0}{x_0 - 1} \int_{x_i}^{x_0} \varphi(x) \left[\frac{1}{x_i} - \frac{1}{x} \right] dx}. \quad (10)$$

Из формулы (10) видно, что, так как a и $\beta \sim 1$ и $x_k, x_i \sim 1$, при достаточно больших x_0 величина α перестает зависеть от x_0 .

Зависимость α от x_0 , полученная с помощью точных и приближенных выражений $\varphi(x)$ для ряда уровней одиночников атома гелия и уровней

Таблица 1

$\lambda, \text{\AA}$	Число кв./сек.												α	
	р, тор													
	1.3						11.0							
	$i, \text{ма}$													
He I	100	75	50	25	100	75	50	25	100	75	50	25	$\times 10^{16}$	
	$n=3$	3.3	2.5	1.6	0.9	2.4	2.1	1.1	0.5	3.2	2.4	1.6	0.8	
He II	$n=4$	2.9	2.2	1.5	0.7	1.1	0.8	0.5	0.3	8.0	6.0	4.0	2.0	$\times 10^{15}$
	$\lambda=4686 \text{\AA}$	5.7	3.8	2.8	1.4	6.6	4.2	2.8	1.4	7.0	5.3	3.5	1.8	
He II	$\lambda=3203 \text{\AA}$	1.1	0.9	0.6	0.3	1.2	0.9	0.6	0.2	1.8	1.3	0.9	0.45	$\times 10^{13}$

Примечание. He в 1 см, $l = 6$ см.

Таблица 2

$\lambda, \text{\AA}$	Число кв./сек.												α	
	p, тор													
	1						2.7							
	100	100	75	50	25	100	75	50	25	100	75	50	25	
He I {	$n=3$	5.1	4.2	3.4	1.5	0.8	4.4	2.8	1.4	0.6	1.9	1.5	1.1	
	$n=4$	4.1	1.8	1.2	0.8	0.4	2.8	1.5	0.8	0.4	4.0	3.1	2.2	
He II {	$\lambda=5412 \text{ \AA}$	2.5	2.8	2.2	1.3	0.6	4.4	2.5	1.6	0.6	1.6	1.3	0.6	
	$\lambda=4686 \text{ \AA}$	4.1	4.1	2.8	1.7	0.8	6.6	4.4	1.7	0.8	4.6	1.4	0.4	

Примечание. He ϕ 2 см, $t = 10$ см.

Таблица 3

$\lambda, \text{\AA}$	Число кв./сек. $\times 10^{-14}$												$\alpha \times 10^{-14}$	
	p, тор													
	0.5						10							
	100	50	100	75	50	25	100	75	50	25	100	75	25	
Ar II $\lambda, \text{\AA}$ {	4965	1.5	0.9	1.4	0.88	0.57	0.3	0.79	0.57	0.38	0.09	1.30	0.94	
	4880	2.7	4.5	2.6	2.0	1.2	0.6	1.9	1.4	0.8	0.2	3.1	2.4	
	4806	1.1	0.69	4.4	0.88	0.5	0.3	0.82	0.63	0.41	0.09	0.63	0.47	
	4658	2.4	1.2	2.0	1.5	1.0	0.5	1.4	1.1	0.63	0.2	2.0	1.5	
	4610	3.4	1.9	2.8	2.4	1.3	0.7	2.0	1.5	0.82	0.3	2.5	1.9	
	4590	2.0	1.4	1.6	1.3	0.85	0.3	1.3	1.0	0.5	0.2	0.94	0.72	
	4579	1.1	0.6	1.1	0.88	0.6	0.3	0.8	0.66	0.38	0.1	0.63	0.47	
	4545	2.7	4.5	2.6	2.4	1.3	0.6	1.9	1.4	0.75	0.3	1.9	1.4	
	4278	—	—	3.8	2.5	1.4	0.6	2.3	1.5	0.8	0.3	2.5	1.9	
Ar I $\lambda, \text{\AA}$ {	4132	2.2	1.1	1.5	1.1	0.7	0.35	1.0	0.75	0.6	0.1	0.94	0.72	
	4259	—	—	2.0	1.5	1.1	0.53	1.6	1.4	0.7	0.2	2.2	1.7	
	4511	—	—	0.9	0.7	0.5	0.3	0.7	0.5	0.4	0.1	4.4	1.0	
	8104	—	—	210	135	85	57	160	110	66	35	69	53	
	7724	—	—	120	79	53	28	94	72	38	19	31	25	
	7515	—	—	110	85	66	35	82	66	38	22	94	72	
	6965	—	—	31	22	16	6.3	28	22	13	6.3	19	16	

иона гелия приведены на рис. 1. Для удобства на рисунке отложена не сама величина α , а функция $f(x_0)$, связанная с величиной α соотношением

$$\alpha = iq_{\max} f(x_0), \quad (11)$$

где q_{\max} — сечение возбуждения в максимуме для данной линии. Так как ход сечений возбуждения для одиночников с данным значением L подобен [5, 6], x_k меняются незначительно и $x_k \ll x_0$, то данные расчеты справедливы для любого квантового числа n . На рис. 1 приведены значения $f(x_0)$ и для линии $\lambda=4686 \text{ \AA}$ с уровня иона 4^2F . Ход сечения возбуждения ряда других линий Не II [7, 8] подобен ходу сечения линии $\lambda=4686 \text{ \AA}$ и эти расчеты справедливы и для них. На рис. 1 приведены функции $f(x_0)$ и для некоторых линий ArI и ArII. Сечения возбуждения линий взяты из работ [9, 10]. Для ряда других линий сечения возбуждения линий подобны сечениям линий, приведенных на рис. 1, и наши расчеты справедливы и для ряда других линий Ar I и Ar II.

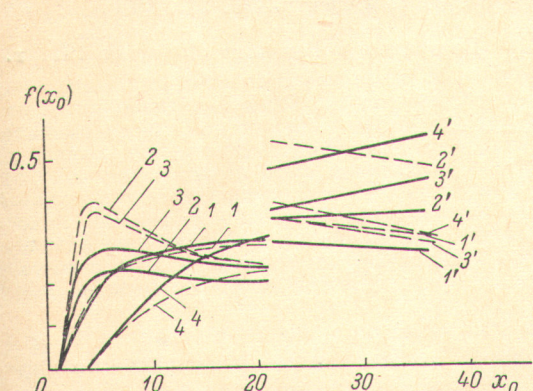


Рис. 1. Зависимость числа возбуждений от величины катодного падения.

Точное решение — сплошная линия, приближенное — штриховая. HeI: 1 — n^1P_1 , 2 — n^1P_2 , 3 — n^1S_0 ; HeII: 4 — 4686 Å. Ar I: 1' — 8104 Å, 2' — 7514 Å; Ar II: 3' — 4965 Å, 4 — 4132 Å.

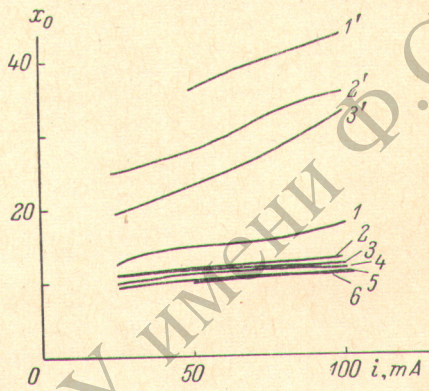


Рис. 2. Зависимость величины катодного падения от разрядного тока. HeI: 1 — 1.3, 2 — 2.7, 3 — 3.3, 4 — 6.5, 5 — 11.0, 6 — 19.0 тор; Ar: 1' — 0.5, 2' — 1.0, 3' — 2.0 тор.

Из рис. 1 видно, что $f(x_0)$ и для точного и для приближенного расчета мало меняется при больших x_0 . Зависимость x_0 от тока, давления в полом катоде с диаметром 1 см и длиной 6 см гелия и с диаметром 2 см и длиной 10 см для аргона приведены на рис. 2. Из рис. 2 видно, что для данного газа при $p > 1$ тор x_0 практически не зависит для гелия от i, p . Измерения в полом катоде с диаметром 2 см и длиной 10 см для гелия дали практически те же значения, что и на рис. 2.

Для аргона при $p \geq 1$ тор x_0 зависит сильнее от i и p , однако из рис. 2 видно, что изменение x_0 в этих пределах мало сказывается на величине $f(x_0)$.

Тогда из нашей модели вытекают следующие правила подобия: интегральная интенсивность линии, излучаемая всем объемом полого катода, должна линейно зависеть от тока и практически не должна зависеть от давления и размеров катода. Выполнение этих правил для гелия видны из табл. 1, 2.

Как и в работе [1] сравниваются числа прямых возбуждений и суммарное число квант для уровней $n=3$ и $n=4$ He I и число прямых возбуждений и число квант для ряда линий HeII.

В табл. 3 сравниваются числа прямых возбуждений и число квант для ряда атомных и ионных линий аргона.

Описание установки и методики измерений приведено в работе [1].

Из таблиц видно, что во многих случаях имеет место хорошее согласие теории с экспериментом. Имеющиеся в отдельных случаях расхождения, по-видимому, связаны с тем, что нигде не учитываются процессы ступенчатых возбуждений и тушащие процессы.

Литература

- [1] Ю. М. Каган, Р. И. Лягущенко, С. Н. Хворостовский. Опт. и спектр., 33, 430, 1972.
- [2] Ю. М. Каган, Р. И. Лягущенко, С. Н. Хворостовский. ЖТФ., 1973.
- [3] В. Л. Грановский. Электрический ток в газе. 1, ГИТТЛ, 1952.
- [4] H. W. Drawin. Zs. Phys., 164, 513, 1961.
- [5] Б. Е. Яхонтова. Вестн. ЛГУ, 10, 27, 1959.
- [6] R. M. St. John, F. L. Miller, C. C. Lin. Phys. Rev., 134, A888, 1964.
- [7] R. M. St. John, C. C. Lin. J. Chem. Phys., 41, 195, 1964; 47, 347, 1967.
- [8] R. J. Andersen, E. T. P. Lee, C. C. Lin. Phys. Rev., 160, 20, 1967.
- [9] П. В. Фельцан, И. П. Запесочный. Укр. физ. ж., № 4, 633, 1967.
- [10] П. В. Фельцан, М. М. Повч. Опт. и спектр., 28, 217, 1970.

Поступило в Редакцию 10 июня 1972 г.